

汚泥の発熱量とエンタルピー収支について

京都大学 工学部 正實 平岡正勝
京都大学 工学部 正實 高内政彦
京都大学 工学部 学生實 島津康弘
京都大学 工学部 学生實 清水洽

(まえがき) 汚泥の焼却処理には気流乾燥燃焼方式、ロータリーキルン方式回転炉床方式、および
錐式燃焼法がある。各プロセスはそれを特徴を持っており、汚泥の種類形状によって使い分ける必要があろう。比較的脱水しやすい物質であれば、一般的な燃焼方式で処理できるであろうが生活泥や各種化学工業からの汚泥のような脱水、乾燥が困難な物質に対しては錐式燃焼法が有利であろう。著者らが、ここ数年行ってきた噴霧燃焼法に関する基礎的実験から得られたデータを用いて、本法の工
ンタリペー収支をとった結果を報告する。

まず、収支をとるにあたりFig Iのようなフローチートを考える。

$$(\text{出熱}) \quad \text{濃縮棧} \quad \left\{ L_1 \left(1 - \frac{q_1}{100} \right) \cdot C_w + L_1 \frac{q_1}{100} \cdot C_s \right\} (t_{L2} - t_{L1}) + Y_2 (L_2 - L_1)$$

$$\begin{aligned} \text{蒸發乾燥} \quad L_2(1 - \frac{\alpha_2}{100}) & \left\{ Y_w + C_w \cdot (t_{w-} \right. \\ t_{L_2}) \left. \right\} + L_2(\frac{\alpha_2}{100}) C_{st}(t_{s1} - t_{s2}) + \\ C_{t1} \cdot C_{G1} \cdot (t_{G2} - t_{G1}) + L_2(1 - \frac{\alpha_2}{100}) \\ C_{st}(t_{st} - t_{w-}) \end{aligned}$$

$$\begin{aligned} \text{燃燒率} &= (G_3 - G_1) C_{43} \cdot (t_{45} - t_{43}) + \\ &+ (G_4 + G_{4F}) C_{44} \cdot (t_{45} - t_{44}) + S_1 C_{52} \\ &+ (t_{52} - t_{51}) \end{aligned}$$

$$\text{灰分など}: S_3 \cdot C_S (t_{S2} - t_{S3}) + C_3 C_{L3} (t_{L1} - t_{L2})$$

a: 污泥濃度 [wt%]

C : 比熱 [kcal/kg °C]

G: ガス流量 [kg/hr]

H: 湿度 [kg-water/kg-dry air]

L: 液流量 [kg/hr]

q_1 : 污泥發熱量 [kcal/kg - wet]

q' : 污泥發熱量 [kcal/kg-dry]

下方：熱分解物の燃焼熱 [kcal/hr]

QR: 热分解の反応熱 [kcal/hr]

S：固体流量 [kg/hr]

尤：溫度(°C)

X_C : 濃縮棧における蒸気凝縮率(一)

X_R: 热分解率(%)

W: 重油消費量 [kg/hr].

γ : 蒸發潛熱 [kcal/kg]

γ：效率（-）

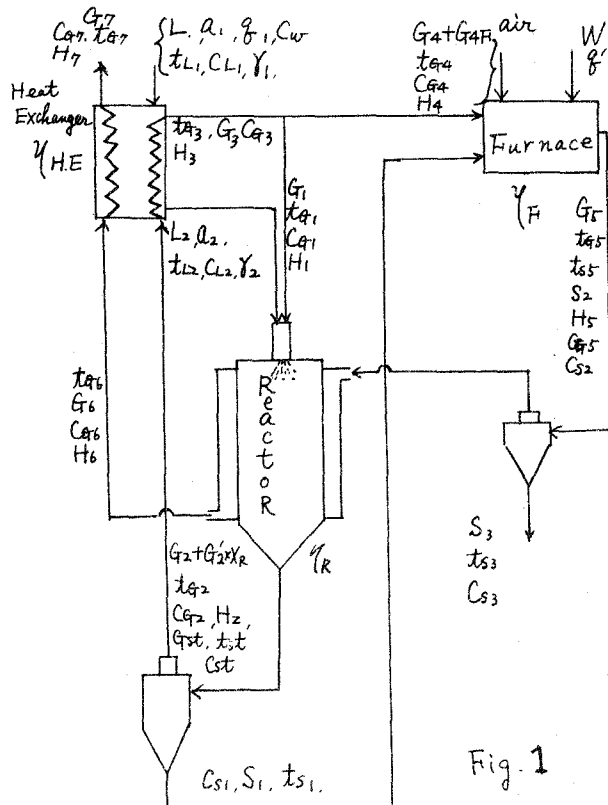


Fig. 1

$$\left[\text{X熱} \right] \text{濃縮残液} \cdot \left\{ \left\{ L_2 \left(1 - \frac{\alpha_2}{100} \right) + L'_3 \right\} \cdot X_C \left\{ \left\{ Y_3 - C_W \cdot (t_{L_3}' - t_{L_3}) \right\} + Cst \cdot (t_{st} - t_{L_3}') \right\} + (G_2 + G_2' \cdot X_R) \cdot C_{H_2} \cdot (t_{G_2} - t_{G_3}) + \left\{ L_2 \left(1 - \frac{\alpha_2}{100} \right) + L'_3 \right\} (1 - X_C) \cdot Cst \cdot (t_{st} - t_{G_3}) + G_6 \cdot C_{H_6} \cdot X \cdot (t_{G_6} - t_{G_7}) + (L_1 - L_2) X_C \left\{ Y_2 + C_W \cdot (t_{L_2} - t_{C_3}) \right\} \right\} \gamma_{H.E.}$$

$$\text{反応塔} \quad \left\{ \left\{ G_5 \cdot C_{as} (t_{as} - t_{G_6}) \right\} + g_R \cdot X_R \right\} \gamma_R.$$

$$\text{燃焼炉} \quad \left\{ g_F + g_R (1 - X_R) + W \cdot g \right\} \gamma_F.$$

(結果) 上記の入出熱の全收支から計算した例を示す。 (仮定) $L_1 = 100 \text{ kg/hr}$, $\alpha_1 = 5.7\%$,

$g_1 = 204 \text{ kcal/kg-wet}$, $t_{C_1} = 10^\circ\text{C}$, $t_W = 90^\circ\text{C}$, $t_{S_1} = 300^\circ\text{C}$, $L_2/G_1 = 1.5$, $t_{G_1} = 60^\circ\text{C}$, $t_{st} = 200^\circ\text{C}$, $t_{G_3} = 60^\circ\text{C}$, $t_{G_4} = 10^\circ\text{C}$, $t_{S_2} = 800^\circ\text{C}$, $t_{S_3} = 600^\circ\text{C}$, $t_{L_3} = 100^\circ\text{C}$, $t_{L_2} = 40^\circ\text{C}$, $t_{G_5} = 1100^\circ\text{C}$, $t_{G_6} = 600^\circ\text{C}$, $\gamma = 0.8$.

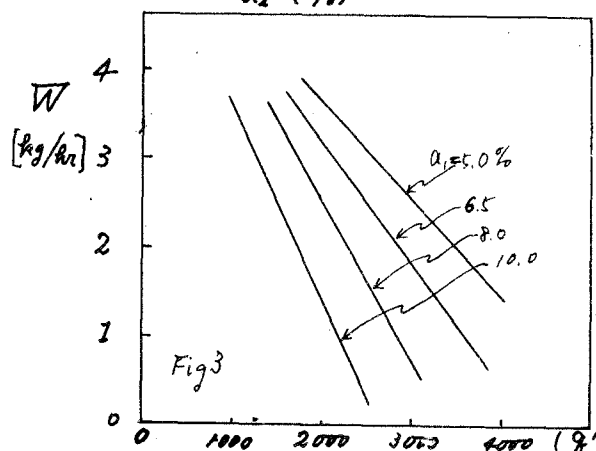
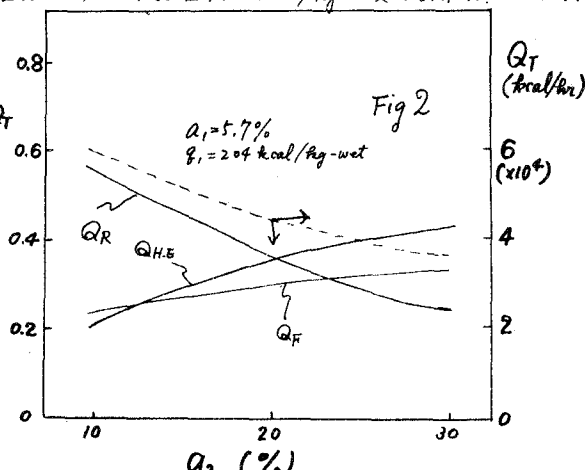
$t_{as} = 100^\circ\text{C}$, $G_F = 19.5 \text{ kW}$, $g = 10000 \text{ kcal/kg}$, $G_{HF} = 17.7 \text{ kW (kg/hr)}$, (過剰空気率30%), $G_4 = 24 \text{ kg/hr}$ (過剰空気率30%), $H_3 = 0.082$ ($t_{L_3} = 40^\circ\text{C}$ のときの飽和蒸気圧)。

以上の条件で解いた結果を示すと Fig. ②, ③ のようになる。Fig. 2 は噴霧汚泥濃度 α_2 を変化させたときの各単位装置の熱消費率と全消費熱量の関係である。Fig. 3 は入口汚泥濃度 α_1 および発熱量 g を変化させたときの補助燃料の消費量との関係である。

(考察) 上記計算結果から分るように、ここに用いた汚泥の物性では補助燃料なしに処理することは不可能であろう。例えば Fig. 3 から入口汚泥濃度が 8% で発熱量 3500 kcal/kg 程度であればまだいい自燃できることになる。又 Fig. 2 において

破線で示した $Q_T - \alpha_2$ の曲線から入口汚泥濃度が一定の場合でも噴霧汚泥濃度 α_2 が増加すると Q_T が減少することが分かる。

したがって同一汚泥を用いた場合には噴霧汚泥濃度を増加することによって装置効率を増すことができるという結果を得た。しかし、噴霧濃度を増すとしても技術上からいって明らかに噴霧可能な濃度に限界があり、濃厚汚泥にならほど噴霧に必要な動力などが増加しそのため最適製作条件としての α_2 が存在することは明らかである。この計算には上記の動力などのエネルギー項が入っていない。またここで行った仮定が実際の場合と異なることが考えられる。



(参考文献)

本多・上野：水処理技術 4(6) 35(1963)

菅原 菅雄：熱管理要説、産業図書